

Introduction à la turbulence

B. Apffel

August 28, 2023

1 Avant-propos

Je ne suis pas un spécialiste de la turbulence, mais c'est un sujet qui m'intéresse et que je croise souvent en conf'. J'ai donc fait des petites notes pour retenir les trucs importants et je trouvais sympa de les partager. Un bouquin qui m'a beaucoup inspiré et dont ces notes sont en grande partie un résumé : Physique de la turbulence de S. Galtier. Clair, pas trop long et très axé physique. Si vous avez le temps, lisez le livre plutôt que ces notes !

2 Historique de la turbulence

- de Vinci: premier dessin de la turbulence
- Reynolds: première expériences quantitatives sur la turbulence. Il observe un écoulement dans un canal et change la vitesse de l'écoulement. Il remarque qu'au-delà d'une certaine vitesse, l'écoulement forme des tourbillons. Il remarque également que lorsque la température augmente, la transition se produit plus facilement.
- Richardson: Introduction de la cascade d'énergie: les gros tourbillons forment des plus petits, qui continuent de se diviser et finissent par se dissiper. Il étudie aussi les phénomènes de diffusion en écoulement turbulent et trouve une diffusion plus rapide que dans le cas d'une diffusion Brownienne. Il trouve un coefficient de diffusion non constant $D_l \sim l^{4/3}$ avec l la distance entre les particules (mouvement Brownien: D_l indépendant de l).
- Taylor: fonction de corrélation à 2 points $\langle u(x, t)u(x, t+T) \rangle$ avec $\langle . \rangle$ la moyenne d'ensemble: vision statistique de la turbulence.
- von Karman/Howarth : équation de la mécanique des fluides sur les corrélateurs plutôt que sur le champ de vitesse
- Kolmogorov/Obukhov: loi des 4/5 pour une turbulence incompressible homogène et isotrope, en utilisant la fonction de structure d'ordre 3
- Grant, Stewart, Moilliet: observation expérimentale en 1962 de cette loi
- Problème de la fermeture: plein de gens, plein de modèles plus ou moins compliqués et plus ou moins convaincants.
- Turbulence 2D: cascade inverse, dissipation vers les grandes échelles, très différent de la 3D.
- Sujets liés: magneto-hydrodynamique (MHD) qui exhibe un cas de cascade inverse en 3D, turbulence d'onde, simulation directe (DNS) etc



FIGURE 4. The towed body.

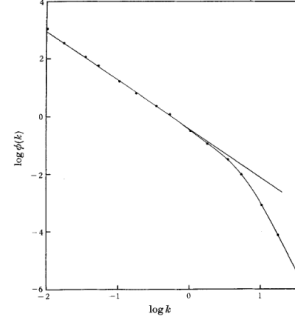


FIGURE 9. A logarithmic plot of the one-dimensional spectrum for the run at 0905/3/10/59. The straight line has a slope of $-\frac{5}{3}$.

Figure 1: Dessin de De Vinci et figures extraites de Grant et al, 1962

3 Equations constitutives et premiers ennuis

Equations de Navier Stokes pour un fluide incompressible Newtonien

$$\vec{\nabla} \cdot \vec{u} = 0 \quad (1)$$

$$\partial_t \vec{u} + (\vec{u} \cdot \vec{\nabla}) \vec{u} = -\vec{\nabla} P / \rho + \nu \Delta \vec{u} \quad (2)$$

avec \vec{u} le champ de vitesse, P le champ de pression, ν la viscosité cinématique, ρ la masse volumique. Résoudre NS = trouver un champ de vitesse \vec{u} et un champ de pression P qui vérifie cette équation et les conditions aux limites. C'est presque toujours impossible sauf dans des cas simples et symétriques, à cause de la non-linéarité. Remarque: la preuve mathématique de l'existence et la régularité des solutions de cette équation est un problème du millénaire. On va donc devoir ruser et estimer les ordres de grandeur pour pouvoir dire des choses.

Nombre de Reynolds: non-linéaire vs viscosité

$$Re \sim \frac{(\vec{u} \cdot \vec{\nabla}) \vec{u}}{\nu \Delta u} \sim \frac{Lu}{\nu} \quad (3)$$

avec L la taille typique de l'écoulement. Si $Re \ll 1$, la viscosité domine et le fluide se comporte 'gentiment'. Si $Re \gg 1$, régime de turbulence forte, le terme non-linéaire joue à plein !

Si $Re \gg 1$, on peut négliger le terme visqueux ? Pas du tout ! Sans terme visqueux, on obtient l'équation d'Euler

$$\partial_t \vec{u} + (\vec{u} \cdot \vec{\nabla}) \vec{u} = -\vec{\nabla} P / \rho \quad (4)$$

qui conserve l'énergie du système. On pose $dE = (\rho u^2 / 2) d\vec{x}$. On a alors

$$\frac{\partial}{\partial t} \int dE = -\rho \nu \int (\vec{\nabla} \times \vec{u})^2 d\vec{x} \quad (5)$$

On en profite pour introduire la vorticit  $\vec{w} = \vec{\nabla} \times \vec{u}$ et l'entrophie $\Omega = w^2 / 2$. Lorsque la turbulence est homog ne, on peut identifier moyenne spatiale et moyenne d'ensemble. On a alors

$$\partial_t \langle E \rangle = -\rho \nu \langle \Omega \rangle / 2 = -\epsilon(\nu) \quad (6)$$

avec ϵ le taux de dissipation. Donc si $\nu = 0$, on a $\partial_t E = 0$! Au contraire, exp rimentalement on observe $\partial_t E \rightarrow C > 0$ quand $Re \rightarrow \infty$: c'est l'anomalie dissipative. Il y a une limite singul re ici: la solution quand la viscosit  tend vers 0 ne se comporte pas du tout comme la solution   viscosit  nulle ! C'est li  au fait que m me si ν est tr s petit, on brise la sym trie $t \rightarrow -t$. Une solution quantitative possible : $\nabla \times \vec{u}$ diverge quand la viscosit  tend vers 0.

Un toy model pour montrer cet effet (tir  de W. Appel, Math matiques pour la physique, un super livre!). Rom o et Juliette de part et d'autre d'un bateau pos  sur un fluide visqueux ou non-visqueux. Rom o veut rejoindre Juliette. Comment se d place le bateau lorsque Rom o bouge ?

- Cas non-visqueux : aucune force sur le système { bateau + Romeo + Juliette } : si Roméo de masse m bouge de L , la barque avec Juliette de masse M doit bouger de mL/M dans l'autre direction pour conserver la position du barycentre.
- Cas visqueux: x position de la barque et y celle de Roméo par rapport à la Terre. On a $M\ddot{x} + m\ddot{y} = -\eta\dot{x}$. On intègre en zéro et l'infini ou rien ne bouge : $x(\infty) - x(0) = 0$, la barque ne bouge pas !

4 Approche phénoménologique

Concrètement, que se passe-t-il dans le fluide ? Approche Richardson: les gros tourbillons se scindent en petits, qui se scindent en plus petits etc jusqu'à l'échelle visqueuse. En pratique, c'est un peu plus compliqué. Taylor: deux points dans un écoulement turbulent s'éloignent. Mais la vorticit  dans un tube, lorsque la viscosit  est nulle, est conserv e (th or me de Kelvin) et l'incompressibilit  impose un amincissement du tube. Donc la norme de la vorticit  augmente, jusqu'  atteindre l' chelle de dissipation visqueuse. Remarque: plus ν est faible, plus cette  chelle est petite et plus la vorticit  peut exploser. C'est une solution qualitative   l'anomalie dissipative.

5 Vision statistique de la turbulence

But: trouver une  quation pour estimer le taux de dissipation ϵ , qui d pend de la moyenne d'ensemble. Equation de Karman-Howarth: trouver une  quation sur les corr lateurs plut t que sur le champ de vitesse. On pose $\vec{u} = \vec{u}(\vec{x})$ et $\vec{u}' = \vec{u}(\vec{x}')$. Hypoth se d'homog nit : si $\vec{x}' = \vec{x} + \vec{l}$, les corr lateurs ne d pendent que de \vec{l} . On introduit ensuite la fonction de structure d'ordre 3

$$\langle (\vec{u} - \vec{u}')^3 \rangle = \langle \delta \vec{u}^3 \rangle \quad (7)$$

et on obtient apr s quelques calculs et manipulations d'indices

$$\partial_t \langle \frac{u_i u'_i}{2} \rangle = \frac{1}{4} \vec{\nabla}_{\vec{l}} \langle (\delta \vec{u} \cdot \delta \vec{u}) \delta \vec{u} \rangle + 2\nu \partial_{l_k l_k}^2 \langle \frac{u_i u'_i}{2} \rangle \quad (8)$$

Pour aller plus loin, on fait l'hypoth se de localit . S paration entre 3  chelles: l' chelle de for age l_0 , l' chelle de dissipation l_{diss} et l' chelle dite intertielle l sur laquelle   la fois le for age et la viscosit  peuvent  tre consid r s comme ne jouant aucun r le. On suppose donc

$$l_{diss} \ll l \ll l_0 \quad (9)$$

et on va  crire des  quations sur cette zone intertielle. Pour cela, on rajoute un for age large  chelle \vec{f} dans NS. L' quation de KH se transforme comme

$$\partial_t \langle \frac{u_i u'_i}{2} \rangle = \frac{1}{4} \vec{\nabla}_{\vec{l}} \langle (\delta \vec{u} \cdot \delta \vec{u}) \delta \vec{u} \rangle + 2\nu \partial_{l_k l_k}^2 \langle \frac{u_i u'_i}{2} \rangle + F(\vec{l}) \quad (10)$$

avec $F(\vec{l}) = \langle f_i u'_i + f'_i u_i \rangle / 2$ un corr lateur qui d pend du for age. Remarque: si $\vec{l} = 0$, on retrouve

$$\partial_t \langle E \rangle = \rho F(0) - \epsilon(\nu) \quad (11)$$

et un  coulement stationnaire donnera un  quilibre entre puissance inject e et dissip e. Si on suppose maintenant que $l \ll l_0$, on peut  crire $F(\vec{l}) \approx F(0) = \epsilon(\nu)$. En supposant en plus qu'on peut n gliger les effets de la viscosit    cette  chelle, on trouve

$$-4\epsilon = \rho \vec{\nabla}_{\vec{l}} \langle (\delta \vec{u} \cdot \delta \vec{u}) \delta \vec{u} \rangle \quad (12)$$

Avec en plus une hypoth se d'isotropie, on obtient apr s int gration la loi des 4/3

$$-\frac{4}{3} \epsilon l = \rho \langle (\delta u_i)^2 \delta u_i \rangle \quad (13)$$

avec u_l la vitesse projetée dans la direction \vec{l} entre les deux points de mesure. Expérimentalement, on préférera la loi des 4/5 de Kolmogorov car il m'y a besoin que d'une seule vitesse

$$-\frac{4}{5}\epsilon l = \rho \langle (\delta u_l)^3 \rangle \quad (14)$$

C'est le premier résultat exact en turbulence !

On peut retrouver les résultats précédents sans passer par les calculs. On considère un tourbillon de taille l avec une vitesse typique $u_l \sim \sqrt{\delta u_l^2}$. Le temps de retournement du tourbillon est $\tau \sim l/u_l$ que l'on identifie au temps typique de cascade de l'énergie à l'échelle l . On a alors

$$\epsilon_l \sim \partial_t E_l \sim u_l^2/\tau \sim u_l^3/l \quad (15)$$

Dans la zone inertielle, le transfert d'énergie se fait de la même manière à toutes les échelles (hypothèse dite d'auto-similarité) et de manière locale: toute l'énergie est envoyée vers les échelles plus petites. On a donc $\epsilon_l = \epsilon$. On retrouve donc $\epsilon l \sim \langle u_l^3 \rangle$

On peut essayer d'étendre l'argument dimensionnel et tenter une loi du même type pour les autres fonctions de structure

$$\langle (\delta u_l)^p \rangle \propto (\epsilon l)^{\xi_p} \quad (16)$$

avec $\xi_p = p/3$ pour que ça marche à l'ordre 3. Problème: ça ne colle pas aux données expérimentales ! Raison supposée: les propriétés auto-similaires ne sont pas correctes aux échelles supérieures et il existe des singularités de dissipation. Modèles pour corriger: fractales de Frisch, log-normale de Kolmogorov et Obukhov.

6 Anomalie dissipative et intermittence

On va maintenant discuter la dissipation non nulle quand $\nu \rightarrow 0$. On a déjà discuté d'une explosion de la vorticit  en temps fini, mais alors comment d finir la d riv e en ces points ? Soit on dit que l' quation de NS n'est plus valable sur des  chelles trop petites, soit on passe par une formulation faible. Id e: travailler avec des distributions et lisser le champ de vitesse sur une boule de rayon r (Leray). On prend une fonction ϕ   support compact, C-infinie sur $B(0, r)$ qui somme   1 et on pose $u^r = \int_{B(\vec{y}, r)} \phi(\vec{x} - \vec{y}) u(\vec{x}) d\vec{x}$. On peut alors apr s calcul sortir une  quation de la forme

$$\partial_t \left(\frac{\vec{u}^r \cdot \vec{u}}{2} \right) + \vec{\nabla} \cdot \vec{J}^r = -D_I^r - D_\nu^r \quad (17)$$

avec

$$D_I^r = \frac{1}{4} \int \nabla \phi^r [(\delta u)^2 \delta u] \quad (18)$$

$$D_\nu^r = \nu \vec{w} \cdot \vec{w}^r \quad (19)$$

$$(20)$$

et je vous passe l'expression de \vec{J} qui est simplement un flux d' nergie. Remarque: ici pas de moyenne d'ensemble, c'est une  quation qui traduit localement la conservation de l' nergie dans la petite boule de rayon r . Egalement, les d riv es spatiales sont appliqu es sur ϕ et non plus sur \vec{u} (on a fait une IPP) donc tout reste r gulier. C'est l'avantage des formulations faibles ! Si on prend $r \rightarrow 0$ et $\nu = 0$, il reste un terme de dissipation inertielle !

Et l'intermittence ? C'est le fait qu'il existe des zones spatio-temporelles de forte activit  dissipative avec de nombreux autres endroits de calme. La pr sence de bouff es intermittentes brise le caract re auto-similaire de l' coulement ! Preuve exp rimentale: les ailes non-gaussiennes dans les diff rences de vitesse   2 points lorsque la distance entre les 2 points est trop faible. Les fluctuations importantes sont trop nombreuses par rapport   des sommes de variables gaussiennes ind pendantes.

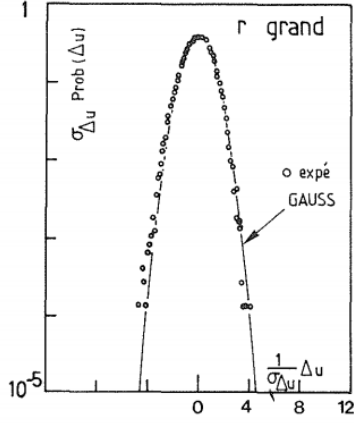


Figure 9 – Loi de probabilité des fluctuations de la différence des vitesses en deux points lorsque la distance de ceux-ci est comparable à l'échelle énergétique de la turbulence.

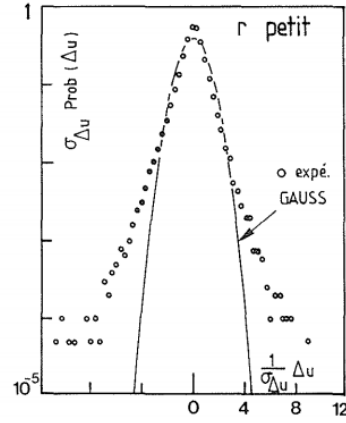


Figure 10 – Loi de probabilité des fluctuations de la différence des vitesses en deux points lorsque la distance de ceux-ci est comparable à l'échelle dissipative de la turbulence.

Figure 2: Mesure des histogrammes des fonctions de corrélation à 2 points pour une distance grande et petite (tiré de Une introduction à la physique de la turbulence, J.C. Lelièvre)

7 Théorie spectrale

Jusqu'à présent, on a travaillé sur les fonctions de corrélations dans l'espace direct. L'approche Fourier offre un point de vue dual qui donne une autre compréhension des choses. On pose

$$\vec{u}(\vec{k}) = \int \vec{u}(\vec{x}) e^{-i\vec{k}\cdot\vec{x}} d\vec{x} \quad (21)$$

et le corrélateur en Fourier s'écrit

$$\langle u_i(\vec{k}) u_j(\vec{k}') \rangle = \int \langle u_i(\vec{x}) u_j(\vec{x}') \rangle e^{-i(\vec{k}\cdot\vec{x} + \vec{k}'\cdot\vec{x}')} d\vec{x} d\vec{x}' \quad (22)$$

avec l'hypothèse d'homogénéité, le corrélateur est nul sauf si $\vec{k} = -\vec{k}'$ on a finalement

$$\phi_{ij}(\vec{k}) = \int \langle u_i(\vec{x}) u_j(\vec{x} + \vec{l}) \rangle e^{-i\vec{k}\cdot\vec{l}} d\vec{l} \quad (23)$$

Le spectre d'énergie cinétique est alors défini par

$$\langle E \rangle = \frac{1}{2} \langle u^2 \rangle = \frac{1}{2} \int \phi_{ii}(\vec{k}) d\vec{k} \quad (24)$$

Avec une turbulence isotrope, on peut finalement écrire en intégrant sur les coordonnées angulaires

$$\langle E \rangle = \int E_k dk \quad (25)$$

8 Turbulence d'onde

On peut fermer les équations !